



تحلیل ترمو-اقتصادی سیکل رانکین آلی با تولید همزمان حرارت و توان کارکننده با انرژی خورشیدی و زمین گرمایی در رامسر

کوروش جواهرده^{۱*}، مهدی امین فرد^۲، محمد ذوقی^۳

۱- دانشیار، گروه مهندسی مکانیک، دانشکده فنی، دانشگاه گیلان، رشت، ایران

۲- دانشجوی کارشناسی ارشد، گروه مهندسی مکانیک، پردیس دانشگاهی، دانشگاه گیلان، رشت، ایران

۳- دانش آموخته کارشناسی ارشد، گروه مهندسی مکانیک، دانشکده فنی، دانشگاه گیلان، رشت، ایران

*رشت، صندوق پستی ۱۸۴۱، javaherdeh@guilan.ac.ir

چکیده

چرخه رانکین آلی تکنولوژی مناسب برای تبدیل منابع حرارتی با کیفیت پایین به الکتریسیته است. در این تحقیق، سیکل رانکین آلی به منظور تولید الکتریسیته و آب گرم، با محرك همزمان انرژی زمین گرمایی و خورشیدی شبیه‌سازی شده و از منظر انرژی، اگزرسی و اگزرسی-اقتصادی مورد بررسی قرار گرفته است. در این پیکربندی، از سیال زمین گرمایی ۹۰ درجه سلسیوس به منظور پیش‌گیری از سیال خورشیدی با دمای ۱۵۰ درجه سلسیوس به منظور فواید گرمایش سیال آلی استفاده می‌شود. همچنین از دفع گرما در کنداسور، به منظور تولید آب گرم استفاده می‌شود. نتایج شبیه‌سازی نشان می‌دهد در حالت پایه، بازده انرژی و اگزرسی تولید همزمان به ترتیب ۰.۵۶۶ و ۰.۱۵۶ و بازده انرژی و اگزرسی الکتریکی به ترتیب ۰.۰۵۷ و ۰.۰۶۵ بوده و مقدار کار خروجی و بازگشت‌ناپذیری کلی نیز به ترتیب ۵۰ و ۶۷۱.۱ کیلووات می‌باشد. کلکتور خورشیدی، اوپراتور و کنداسور سیکل آلی به دلیل بالا بودن نرخ هزینه ابتدایی و تخریب مهم‌ترین اجزا از منظر اگزرسی-اقتصادی می‌باشند. نتایج تحلیل پارامتری حاکی از آن است که، افزایش دمای اوپراتور تأثیر مثبت بر عملکرد سیکل داشته و موجب افزایش بازده الکتریکی و کاهش بازگشت‌ناپذیری می‌گردد و افزایش دمای پینچ تأثیر منفی بر عملکرد سیستم دارد. در بحث اقتصادی، افزایش دمای اوپراتور و دمای پینچ، منجر به کاهش نرخ هزینه کلی را در پی دارد. همچنین تغییر شار خورشیدی، موجب بهبود عملکرد سیستم از دیدگاه اگزرسی-اقتصادی شده و افزایش بازده انرژی و اگزرسی را در پی دارد.

کلیدواژگان: اگزرسی-اقتصادی، تحلیل پارامتری، سیکل تولید همزمان حرارت و توان، سیکل رانکین آلی، منابع انرژی تجدیدپذیر

Thermo-economic analysis of organic Rankine cycle with cogeneration of heat and power operating with solar and geothermal energy in Ramsar

Kourosh Javaherdeh^{*}, Mahdi Amin Fard, Mohammad Zoghi

Department of Mechanical Engineering, Faculty of Engineering, University of Guilan , Rasht, Iran

*P.O.B. 1841, Rasht, Iran, javaherdeh@guilan.ac.ir

ABSTRACT

Organic Rankine Cycles are appropriate technology for the conversion of low quality thermal energy to electrical power. In this research the organic Rankine cycle was studied from energy, exergy and exergo-economic points of view, and it was simulated with hybrid solar and geothermal heat source in order to produce electricity and hot water. In this configuration, 90°C geothermal brine was used to preheat the organic fluid and 150°C solar fluid was used for organic fluid evaporation. Waste heat in condenser was also used to produce hot water. Simulation results show that power energy and exergy efficiency of combined heating are 0.566 and 0.156 and electrical energy and exergy efficiency are 0.057 and 0.065, respectively. Moreover, the amount of work output and total irreversibility are 50 and 671.1, respectively. Solar collector, the evaporator and condenser are the most important components from the exergo-economic point of view, due to the high initial cost rate and Exergy destruction. Parametric analysis result shows that the temperature increase in evaporator has positive effect on cycle operation and causes the increase in electricity efficiency and decrease in irreversibility. Also, the increase in pinch point temperature difference of evaporator has a negative effect on cycle operation. From economic point of view, the increase in evaporator and pinch point temperature difference of evaporator causes the decrease in capital cost rate. Also, the solar radiation change find to have positive effect on system operation, based on exergo-economic point of view, which causes the increase in energy and exergy efficiency.

Keywords: Exergo-economic, CHP cycle, Organic Rankine cycle, Parametric study, Renewable energy

الکتریسیته با محرك انرژی خورشیدی نسبت به هزینه تولید الکتریسیته با

محرك انرژی زمین گرمایی بسیار بیشتر بوده، همچنین انرژی خورشیدی در ساعتی از روز مانند شبها و روزهایی ابری در دسترس نیست ولی انرژی زمین گرمایی همواره در دسترس می‌باشد. با توجه موارد ذکر شده ترکیب انرژی خورشیدی و زمین گرمایی به عنوان محرك سیکل‌های تولید همزمان از منظر ترمودینامیکی و اقتصادی مناسب و کارا به‌نظر می‌رسد و می‌تواند

استفاده همزمان از انرژی خورشیدی و زمین گرمایی به عنوان محرك سیکل های ترمودینامیکی، ایده‌ای نسبتاً نو بوده که به تازگی مورد توجه محققین قرار گرفته و تاکنون تحقیقات کمی در مورد آن منتشر گردیده است. این ایده بر این مبنای است که بتواند نواقص هریک از این منابع حرارتی، در حالی که به تنها یابی مورد استفاده قرار می‌گیرند را برطرف کند [۱]. هزینه تولید

Please cite this article using:

K.Javaherdeh, M.Amin Fard, M.Zoghi, Thermo-economic analysis of organic Rankine cycle with cogeneration of heat and power operating with solar and geothermal energy in Ramsar. *Modares Mechanical Engineering, Proceedings of the Second International Conference on Air-Conditioning, Heating and Cooling Installations*, Vol. 16, No. 13, pp. 56-63, 2016 (In Persian) (فارسی)

برای ارجاع به این مقاله از عبارت ذیل استفاده نمایید:

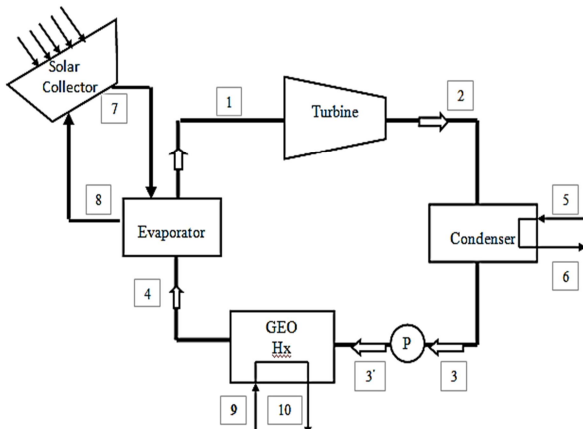


Fig.1 Schematic diagram of combined cycle

شکل 1 شماتیک پیکره‌بندی سیکل ترکیبی

بوده که استفاده از کنداسور به منظور تولید آب گرم، می‌تواند این بازده را بهبود ببخشد [4]. همچنین از سیال R123 استفاده شده است. این سیال دارای خواص زیست محیطی بسیار مناسبی است، همچنین یک سیال خشک می‌باشد. همچنین برای شبیه‌سازی سیکل تولید همزمان فرضیات زیر در نظر گرفته می‌شود [5].

- سیستم در حالت پایا کار می کند از تغییرات انرژی جنبشی و پتانسیل صرف نظر می شود. افت فشار در مبدل های حرارتی و لوله های اجزا ناچیز است. سیال عامل خروجی کنداسور و ورودی پمپ، مایع اشباع می باشد. پمپ و توربین بازده آبیونتروپیک مشخص دارد. تحلیل اگرگزی، دما و فشار محیط به عنوان دما و فشار مرجع است.

3- تحلیل ترمودینامیکی

۱-۳- توازن جرم، انرژی و اگزرزی

به منظور تحلیل ترمودینامیکی سیستم، معادلات توازن حرم، انرژی و اگررژی برای اجزای مختلف مطابق روابط (1) الی (3) نوشته می شود:

$$\sum \dot{m}_i = \sum \dot{m}_e \quad (1)$$

$$\dot{Q} + \sum m_i = \dot{W} + \sum m_e \quad (2)$$

$$\dot{E}x_Q + \dot{m}_i ex_i = \dot{E}x_W + \dot{m}_e ex_e + \dot{E}x_D \quad (3)$$

ex $\bar{E}x_D$, $\bar{E}x_Q$, $\bar{E}x_W$ و \bar{E} اگزرزی متناظر با تخریب، انتقال حرارت، کار و اگزرزی فیزیکی هر جریان بوده و مطابق روابط(4) الی (6) به دست می آید:

$$Ex_Q = \left(1 - \frac{T_0}{T_k}\right) \dot{Q}_k \quad (4)$$

$$Ex_W = \dot{W} \quad (5)$$

$$ex = h - h_0 - T_0(s - s_0) \quad (6)$$

که زیرنویس ۰ مربوط به خواص در دما و فشار محیط است. به منظور سنجش حقیقی کارآیی جزء در سیکل، بازده اگزرسی مطابق رابطه (۷) تعریف می‌گردد:

$$\eta = \frac{\dot{E}x_p}{\dot{E}x_F} = 1 - \frac{\dot{E}x_D}{\dot{E}x_F} \quad (7)$$

که E_{XP} و E_F به ترتیب جریان اگزرسی محصول و سوخت هر جزء می‌باشد.

2-3- کلکتور خورشیدی

در این تحقیق به منظور شبیه‌سازی عملکرد کلکتور خورشیدی لوله خلاً از

معایب مطرح شده را برطرف کند [2]. استفاده همزمان از انرژی زمین گرمایی و خورشیدی به عنوان محرك سیکل‌های ترمودینامیکی اولین بار به وسیله لنتر و آلمانزا [3] در سال 2006 مورد بررسی قرار گرفت. جدا از بررسی عملکرد سیکل‌های ترمودینامیکی، استفاده از روش‌هایی که اصول ترمودینامیکی را با اصول اقتصادی ترکیب می‌کنند روبه افزایش است. این ترکیب، اساس و پایه شاخه جدیدی به اسم اگررژی-اقتصادی را تشکیل می‌دهد. از جمله تحقیقات در این شاخه، تمپسی و همکاران [4] سیکل تولید همزمان کار و حرارت در مقیاس میکرو را با محرك همزمان انرژی زمین گرمایی و خورشیدی از منظر انرژی، اگررژی و اقتصادی شبیه‌سازی کردند. محمدخانی و همکاران [5] در سال 2013 تحلیل ترمو-اقتصادی برای سیکل ترکیبی ارائه کردند. الامام و دنسر [6] در سال 2013 یک سیکل رانکین آلی با محرك انرژی زمین گرمایی را از دیدگاه بازده انرژی و اگررژی و اگررژی-اقتصادادی مورد بررسی قرار دادند. بوقاچی و همکاران [7] در سال 2015 سیکل تولید همزمان قدرت، حرارت و برودت با محرك انرژی خورشیدی منظر انرژی، اگررژی و اگررژی-اقتصادادی شبیه‌سازی نمودند. در این تحقیق ابتدا سیکل تولید همزمان رانکین آلی با محرك همزمان انرژی خورشیدی و زمین گرمایی با استفاده از نرم‌افزار EES شبیه‌سازی شده و عملکرد سیکل در حالت ورودی پایه از منظر انرژی، اگررژی و اگررژی-اقتصادادی مورد بررسی قرار می‌گیرد. سپس تأثیر تغییر پارامترهای مختلف از جمله تغییر دمای اواترатор و اختلاف دمای پینچ اواترатор بر روی بازده انرژی و اگررژی، کار خروجی، برگشت‌ناپذیری کلی و پارامترهای اگررژی-اقتصادادی بررسی می‌گردد. پیکربندی پیشنهادی در این تحقیق از مرجع [4] گلوبرداری شده است با چند فرق: در مرجع ذکر شده به منظور محاسبه مساحت مورد نیاز مبدل‌های حرارتی در سیکل آلی، از فرض ساده‌کننده ثابت گرفتن ضریب کل انتقال حرارت استفاده شده است، اما در این تحقیق، مبدل حرارتی پوسته و لوله با استفاده روابط مربوط به جزئیات انتقال حرارت در آن شبیه‌سازی می‌شود. همچنین در تحقیق پیش رو تحلیل اگررژی-اقتصادادی به منظور بدست آوردن پارامترهای اگررژی-اقتصادادی مربوطه انجام شده و در پایان تحلیل پارامتری جامعی در مورد تأثیر تغییر پارامترهای مختلف بر روی عملکرد سیکل تولید همزمان انجام می‌گیرد.

۲- سیکل تولید همزمان با محرك انرژی زمین گرمایی و خورشیدی

طرح شماتیکی سیکل تولید همزمان در "شکل 1" قابل مشاهده است. ملاحظه می‌شود از سیال دما پایین زمین گرمایی با دمای 90°C به‌منظور پیش گرمایش سیال ورودی به اوپراتور سیکل رانکین آلتی استفاده می‌شود. سپس در اوپراتور، سیال آلتی به‌وسیله آب گرم خروجی از کلکتور لوله خلاً با دمای 150°C به بخار فوق گرم تبدیل می‌شود، استفاده از کلکتور لوله خلاً به دلیل ارزان تر بودن نسبت به کلکتورهای تمرکزی ردیاب خورشید مناسب می‌باشد [4]. در مرحله بعد، بخار فوق گرم وارد توربین شده و تولید قدرت می‌کند. سیال خروجی از توربین معمولاً بخار فوق گرم بوده و استفاده از آن را به‌منظور تولید آب گرم را امکان‌پذیر می‌سازد. دفع گرما در کندانسور باعث افزایش دمای آب از دمای محیط تا 60°C با مصارف خانگی می‌شود. سیال آلتی خروجی بعد وارد پمپ شده و سیکل آلتی تکمیل می‌گردد. زمانی که انرژی خورشیدی کافی در دسترس نیست، می‌توان با کاهش دمای اوپراتور، از سیال زمین گرمایی 90°C به تنها ی به‌منظور تامین بخار فوق گرم ورودی به توربین استفاده نمود. این دمای محرك، دمایی متداول برای راهاندازی سیکل رانکین آلتی می‌باشد [8]. بازده الکتریکی سیکل معرفی شده فوق نسبتاً کم

$$U = \frac{1}{\left(\frac{1}{h_{sh}}\right) + \left(d_0 \frac{\ln\left[\frac{d_0}{d_i}\right]}{2 \cdot k_w}\right) + \left(\frac{d_0}{d_i} \left(\frac{1}{h_t}\right)\right)} \quad (12)$$

که d قطر و k_w ضریب هدایت رسانشی دیواره لوله می‌باشد. ضریب انتقال حرارت پوسته و لوله ناحیه تکفازی از روابط (13) و (14) بدست می‌آید [11]:

$$h_{sh} = 0.36 \frac{k_{sh}}{D_e} Re_{sh}^{0.55} Pr_{sh}^{0.33} \left(\frac{\mu_{sh}}{\mu_w}\right)^{0.14} \quad (13)$$

$$h_t = \frac{k_t}{d_i} \frac{\frac{f}{8} (Re_t - 1000) Pr_t}{1 + 12.7 \left(\frac{f}{8}\right)^{0.5} (Pr_t^{\frac{2}{3}} - 1)} \quad (14)$$

که در روابط (13) و (14) زیرنویس‌های sh , t , w به ترتیب مربوط به پوسته، لوله و دیواره لوله بوده، Re عدد رینولدز، Pr عدد پرانتل، μ ویکوزیته و D_e قطر سمت پوسته است، ضریب اصطکاک از رابطه (15) بدست می‌آید:

$$f = (0.79 \ln Re_t - 1.64)^{-2} \quad (15)$$

برای انجام محاسبات در ناحیه دوفازی، فآنیند انتقال حرارت در این ناحیه به زیربخش‌های کوچک با نرخ انتقال حرارت یکسان \dot{Q} تقسیم می‌شود [13]. در این حالت نرخ انتقال حرارت از رابطه (16) بدست می‌آید:

$$\dot{Q}_i = F U_i A_i \Delta T_i \quad (16)$$

ضریب انتقال حرارت در ناحیه دوفازی برای اوپرатор از رابطه (17) بدست می‌آید [13].

$$h_{t,eva,i} = E_{t,eva,i} h_{l,t,eva,i} \quad (17)$$

کندانسور در ناحیه دوفازی داخل لوله از رابطه (18) بدست می‌آید [13]:

$$h_{t,con,i} = 0.05 Re_{eq,con,i}^{0.8} Pr_i^{0.33} \frac{k_l}{d_i} \quad (18)$$

در این تحقیق ناحیه دوفازی در کندانسور و اوپرатор به 50 زیربخش تقسیم شده و محاسبات فوق برای هر زیربخش انجام می‌شود. مساحت کلی از مجموع مساحت مبدل در ناحیه دوفازی و تکفازی بدست می‌آید.

4- تحلیل اگزرزی - اقتصادی

معادله موازنۀ هزینه طبق رابطه (19) می‌باشد [14]:

$$\sum (c_e \dot{E}_e)_k + c_{w,k} \dot{W}_k = c_{Q,k} \dot{E}_{Q,k} + \sum (c_i \dot{E}_i)_k + \dot{Z}_k \quad (19)$$

که c هزینه واحد اگزرزی و \dot{Z}_k نرخ هزینه برای جزء k ام می‌باشد. که از رابطه (20) بدست می‌آید [14]:

$$\dot{Z}_k = \frac{Z_k \cdot CRF \cdot \varphi}{N} \quad (20)$$

که Z_k هزینه ابتدایی خردباری جزء، φ ضریب مربوط به هزینه عملکرد و نگهداری جزء، N تعداد ساعت‌عملکرد سالیانه جزء و CRF ضریب بازگشت سرمایه است و از رابطه (21) بدست می‌آید:

$$CRF = \frac{i(1+i)^n}{(1+i)^n - 1} \quad (21)$$

که i برابر با نرخ سود برابر 12 درصد، n عمر مفید برابر 20 سال، و $\varphi=1.06\varphi$ است [5] و قیمت ابتدایی تجهیزات از روابط (22) تا (25) بدست می‌آید:

$$Z_{tur} = (6000) (\dot{W}_{tur})^{0.7} \quad (22)$$

$$Z_p = (3540) (\dot{W}_p)^{0.71} \quad (23)$$

نتایج تست کلکتور مطابق روابط (8) و (9) استفاده می‌گردد [9]:

$$\eta_{col} = c_0 - c_1 \frac{T_{ave} - T_0}{G_{tot}} - c_2 \frac{(T_{ave} - T_0)^2}{G_{tot}} \quad (8)$$

$$c_0 = 0.612, c_1 = 0.54, c_2 = 0.0017 \quad (9)$$

که η_{col} بازده کلکتور بوده و ثوابت مربوط به تست کلکتور برابر است و مجموع تابش مستقیم و پراکنده روی سطح شبیه‌دار کلکتور که با زاویه 21 درجه نسبت به افق (15) درجه کمتر از عرض جغرافیایی شهر رامسر) می‌باشد. این شبیه‌منظر بیشینه کردن تابش خورشیدی در فصل بهار و تابستان انتخاب شده است [10]. تابش خورشیدی در این تحقیق برابر $\frac{W}{m^2}$ 1000 در نظر گرفته شده است که تابش بیشینه می‌باشد و مربوط به روز 25 ام ماه May می‌باشد. از سوی دیگر بازده، از رابطه (10) بدست می‌آید.

$$\eta_{col} = \frac{\dot{Q}_{col}}{G_{tot} \cdot A_{col}} \quad (10)$$

که در رابطه (10)، \dot{Q}_{col} نرخ انتقال گرما در کلکتور و A_{col} مساحت مورد نیاز کلکتور خورشیدی می‌باشد که از رابطه (10) محاسبه می‌گردد.

3- مبدل حرارتی پوسته و لوله

در این تحقیق از مبدل حرارتی پوسته و لوله با یک مسیر پوسته (Eshel) و دو مسیر لوله استفاده می‌کنیم [11]. در مبدل حرارتی مورد استفاده، سیال آبی در سمت لوله و آب خورشیدی و زمین گرمایی و آب گرم مصرفی در سمت پوسته جریان دارد [13]. نرخ انتقال حرارت در ناحیه تکفازی اواپراتور و کندانسور طبق رابطه (11) محاسبه می‌شود:

$$\dot{Q} = F U A \Delta T_{lmtd} \quad (11)$$

که A مساحت، ΔT_{lmtd} اختلاف دمای لگاریتمی، F ضریب تصحیح برابر با 0.9 و U ضریب کلی انتقال حرارت مبدل حرارتی از رابطه (12) بدست می‌آید:

جدول 1 مقادیر ورودی به منظور شبیه‌سازی [4,5]

Table 1 Input data in the simulation [4,5]

نماد	توضیح	مقادیر
$t_0(^{\circ}\text{C})$	دمای محیط	20
$p_0(\text{kPa})$	فشار محیط	101
$t_7(^{\circ}\text{C})$	دمای سیال خورشیدی ورودی	150
$p_7(\text{kPa})$	فشار سیال خورشیدی ورودی	475
$\dot{W}_{tur}(\text{kW})$	قدرت تولیدی میکروتوربین	50
$t_{ofeva}(^{\circ}\text{C})$	دمای اوپراتور سیکل آبی	120
$\Delta T_{pinch,of,eva}$	اختلاف دمای پینچ اوپراتور سیکل آبی	5
$\Delta T_{sup,of,eva}$	اختلاف دمای فوق گرم اوپراتور سیکل	5
$t_{15}(^{\circ}\text{C})$	دمای سیال زمین گرمایی ورودی	90
$p_{15}(\text{kPa})$	فشار سیال زمین گرمایی ورودی	70
η_{pu}	بازده آیزوونتروپیک پمپ سیکل آبی	0.85
η_{tur}	بازده آیزوونتروپیک توربین سیکل آبی	0.8
$t_{15} - t_4(^{\circ}\text{C})$	اختلاف دمای سیال زمین گرمایی وآلی	5
$t_{16} - t_3(^{\circ}\text{C})$	اختلاف دمای سیال زمین گرمایی وآلی	15
$t_3(^{\circ}\text{C})$	دمای آب کندانسور سیکل آبی	60
$t_5(^{\circ}\text{C})$	دمای آب ورودی کندانسور سیکل آبی	20
$t_6(^{\circ}\text{C})$	دمای آب خروجی کندانسور سیکل آبی	60

می‌شود تطابق خوبی بین نتایج حاصله و نتایج مرجع مذکور وجود دارد.

6- نتایج حالت پایه

برای شبیه‌سازی سیکل ترکیبی موارد ابتدایی ورودی سیکل در حالت پایه مطابق جدول 1 می‌باشد. با استفاده از موارد ورودی طبق جدول 1 و معادلات توازن جرم و انرژی و روابط مربوط به اگزرزی، مقادیر خروجی مربوط به نرخ انرژی و اگزرزی اجزای مختلف سیکل و همچنین بازده اگزرزی اجزای مختلف در جدول 4 آمده است. همان‌طور که مشاهده می‌شود بیشترین تخریب اگزرزی در کلکتور خورشیدی و سپس در کندانسور می‌باشد. مقدار زیاد تخریب اگزرزی کلکتور، به دلیل مقدار بالای انتقال حرارتی و مقدار بالای تخریب در کندانسور به دلیل ثابت بودن دمای تغییر فاز سیال عامل تک جزیی در این مبدل حرارتی می‌باشد. همچنین بیشترین و کمترین مقدار بازده اگزرزی در سیکل به ترتیب متعلق به مبدل حرارتی زمین گرمایی و کندانسور می‌باشد. در حالت پایه، بازده انرژی و اگزرزی کلکتور به ترتیب 0.057 و 0.566 و 0.156 و بازده انرژی و اگزرزی کنترلی به ترتیب 0.057 و 0.065 بوده، همچنین مقدار کار خروجی و بازگشت ناپذیری کلی نیز به ترتیب 50 و 671.1 کیلووات می‌باشند. همان‌طور مشاهده می‌شود بازده سیکل تولید همزمان در مقایسه با حالتی که سیکل رانکین آبی تنها به منظور تولید قدرت به کار گرفته شود به میزان قابل توجهی افزایش پیدا نموده است.

جدول 5 نشان‌دهنده نتایج اگزرزی- اقتصادی برای سیکل رانکین آبی است، کلکتور خورشیدی باید بیشتر از سایر اجزا از نظر اگزرزی- اقتصادی مورد توجه قرار بگیرد چون بیشترین مقدار $\dot{Z}_k + \dot{C}_{dest,k}$ را دارد [5]. اواپراتور و کندانسور کمترین مقدار فاکتور اگزرزی- اقتصادی را دارا می‌باشند. در مورد اجزایی مانند مبدل زمین گرمایی و پمپ که نسبت به سایر اجزا فاکتور اگزرزی- اقتصادی بالاتری دارند کاهش قیمت ابتدایی توصیه می‌گردد. در

جدول 3 توازن هزینه و معادلات کمکی به منظور تحلیل اگزرزی- اقتصادی
Table 3 Cost balance and auxiliary equation for exergoeconomic analysis

رابطه کمکی	رابطه اصلی	جزء
$c_7 = c_8$	$\dot{C}_8 + \dot{C}_1 = \dot{C}_7 + \dot{C}_4 + \dot{Z}_{eva}$	اوپراتور
	$\dot{C}_2 + c_{el} \cdot \dot{W}_{tur} = \dot{C}_1 + \dot{Z}_{tur}$	توربین
$c_5 = 0$	$\dot{C}_6 + \dot{C}_3 = \dot{C}_2 + \dot{C}_5 + \dot{Z}_{con}$	کندانسور
$c_2 = c_3$	$\dot{C}'_3 = \dot{C}_3 + c_{el} \dot{W}_p + \dot{Z}_p$	پمپ
$c_{15} = c_{16}$	$\dot{C}_4 + \dot{C}_{16} = \dot{C}_{15} + \dot{C}'_3 + \dot{Z}_{geo}$	زمین
$c_{15} = 1.3 \left(\frac{\$}{GJ} \right)$		گرمایی
$c_{sun} = 0$	$\dot{C}_7 = \dot{C}_8 + c_{sun} \cdot \dot{E}x_{f,col} + \dot{Z}_{col}$	کلکتور

جدول 4 نتایج انرژی و اگزرزی سیکل تولید همزمان

Table 4 Energy and exergy result for chp cycle					
$\eta_{ex}(\%)$	$E_{D}(W)$	$\dot{E}x_f(kW)$	$\dot{E}x_{f}(kW)$	\dot{Q} or \dot{W} (kW)	دستگاه
0.155	620.3	114.1	734.3	409.1	کلکتور
0.829	10.3	50	60.3	50	توربین
0.887	12.85	101.2	114.1	409.1	اوپراتور
0.508	26.09	26.97	53.06	427.7	کندانسور
0.87	0.25	1.67	1.92	1.92	پمپ
0.888	1.32	10.45	11.77	66.64	زمین گرمایی

مبدل‌های حرارتی [11]:

$$Z_{HX} = (7000) + (360)(A_{HX})^{0.8} \quad (24)$$

کلکتور خورشیدی [7]:

$$Z_{coll} = (567)(A_{coll}) \quad (25)$$

روابط بالانس نرخ هزینه در اجزای مختلف همراه با معادلات کمکی با استفاده از از روش SPECO در جدول 3 آمده است [16]. هزینه متوسط واحد سوخت از رابطه (26) بدست می‌آید:

$$c_{F,k} = \frac{\dot{C}_{F,k}}{\dot{E}_{F,k}} \quad (26)$$

هزینه تخریب اگزرزی و فاکتور اگزرزی- اقتصادی از روابط (27) و (28) بدست می‌آید [14].

$$\dot{C}_{des,k} = c_{F,k} \dot{E}x_{D,k} \quad (27)$$

$$f_k = \frac{\dot{Z}_k}{\dot{Z}_k + \dot{C}_{dest,k}} \quad (28)$$

5- پارامترهای خروجی

بازده انرژی و اگزرزی تولید همزمان همچنین نرخ هزینه کلی برای سیکل تولید همزمان از روابط (29) تا (31) بدست می‌آید [7].

$$\eta_{en,chp} = \frac{\dot{W}_{tur} - \dot{W}_p + \dot{Q}_{con}}{(A_{coll} \cdot G_{tot}) + \dot{Q}_{geo}} \quad (29)$$

$$\eta_{ex,chp} = \frac{W_{tur} - W_p + \dot{m}_{hw} \cdot (\dot{E}x_6 - \dot{E}x_5)}{\dot{E}_{F,coll} + \dot{m}_{geo} \cdot (\dot{E}x_9 - \dot{E}x_{10})} \quad (30)$$

$$\dot{C}_{tot} = \sum \dot{Z}_k + \sum \dot{C}_{dest,k} \quad (31)$$

که \dot{m}_{hw} و \dot{m}_{geo} به ترتیب دبی سیال زمین گرمایی و آب گرم تولیدی بوده و جریان اگزرزی ورودی به کلکتور خورشیدی از رابطه (32) بدست می‌آید:

$$\dot{E}_{F,coll} = A_{coll} G_{tot} \left(1 - \frac{T_0}{T_{sun}} \right) \quad (32)$$

که T_{sun} برابر 4500 کلوین در نظر گرفته شده است.

6- نتایج و بحث

6-1- صحت سنجی

کلیه معادلات پایستگی جرم و انرژی و روابط برگشت‌ناپذیری، همچنین روابط مربوط به تحلیل اگزرزی- اقتصادی در اجزای مختلف سیکل تولید همزمان به وسیله نرمافزار EES شبیه‌سازی می‌شود. این نرمافزار دارای یک زیر مجموعه از خواص سیالات مختلف بوده که با توجه به استفاده از سیالات متفاوت در قسمت‌های مختلف، برای شبیه‌سازی سیکل تولید همزمان سودمند خواهد بود. در این قسمت ابتدا به منظور صحت‌سنجی نتایج حاصله، سیکل رانکین آبی شبیه‌سازی شده در تحقیق حاضر با سیکل رانکین آبی مرجع [4] با موارد ورودی کاملاً یکسان (مطابق جدول 3 از مرجع ذکر شده) مقایسه می‌گردد. نتایج صحت‌سنجی در جدول 2 ارائه شده است. همان‌طور که ملاحظه

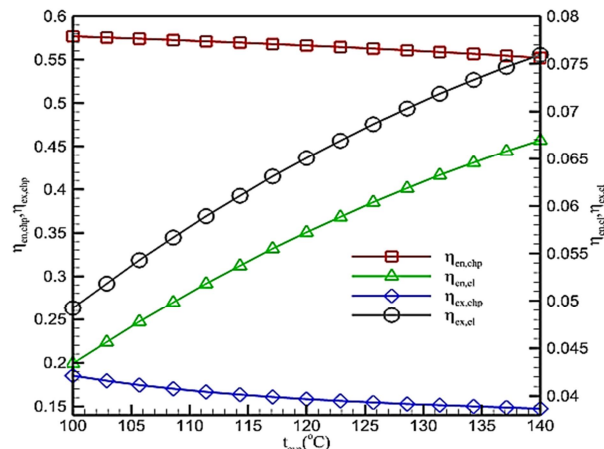
جدول 2 صحت‌سنجی نتایج شبیه‌سازی حاضر

Table 2 Validation of present simulation

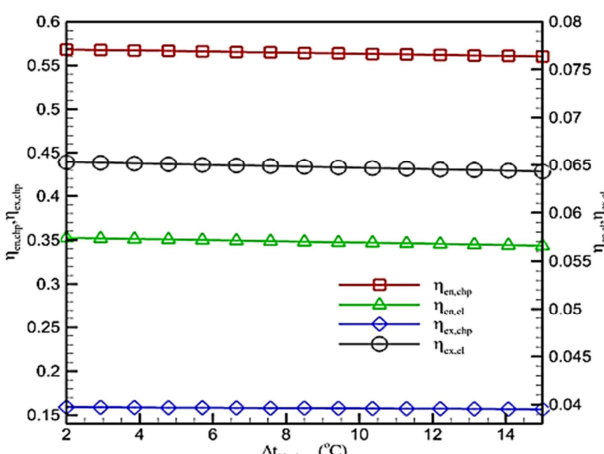
مرجع [4]	تحقیق حاضر
R134a	R134a
9.1	9.3
1.77	1.83
1.1	1.18
0.95	0.91

اختلاف آنتالپی در توربین، دبی سیال آلی در سیکل بدون تغییر می‌ماند. از سوی دیگر افزایش اختلاف دمای پینچ، باعث افزایش دمای سیال محرك خورشیدی شده و موازنه انرژی در اوپراتور سیکل آلی، افزایش دبی کلکتور خورشیدی را نتیجه می‌دهد. در اثر کاهش اختلاف دمای محرك خورشیدی و افزایش دبی سیال خورشیدی، افزایش دبی اثر غالب را داشته که باعث افزایش مساحت مورد نیاز کلکتور خورشیدی می‌گردد که تنها عامل موثر در کاهش همزمان بازده انرژی و اگررژی می‌باشد.

"شکل 4" تغییرات مولفه‌های اقتصادی و بازگشت ناپذیری کلی بر حسب افزایش دمای اوپراتور آلی را نشان می‌دهد. همان‌طور که از شکل قابل مشاهده است بازگشت ناپذیری کلی با افزایش دمای اوپراتور کاهش می‌یابد. در اجزای سیکل رانکین آلی، کاهش دبی، عامل موثر در کاهش بازگشت-ناپذیری اجزا بوده و در کلکتور خورشیدی، کاهش مساحت مورد نیاز و به تبع آن کاهش اگررژی سوخت ورودی باعث کاهش تخریب اگررژی کلکتور می‌شود که در نهایت دو عامل ذکر شده، کاهش بازگشت ناپذیری کلی را در بی دارد. همچنین همان‌طور که از شکل قابل مشاهده است نرخ هزینه متناظر با خریداری و نگهداری تجهیزات و همچنین نرخ هزینه متناظر با تخریب اگررژی کلی کاهش پیدا کرده که به تبع آن نرخ هزینه کلی کاهش پیدا می‌یابد. افزایش دمای اوپراتور باعث کاهش دبی قسمت‌های مختلف سیکل و کاهش نرخ انتقال حرارت در مدل‌های حرارتی شده که کاهش



شکل 2 اثر دمای اوپراتور بر روی بازده انرژی و اگررژی



شکل 3 اثر اختلاف دمای پینچ اوپراتور بر روی بازده انرژی و اگررژی

جدول 5 نتایج اگررژی- اقتصادی سیکل تولید همزمان

Table 5 Exergoeconomic result for chp cycle

f(%)	$\dot{Z}(\$/h)$	$\dot{C}_{des}(\$/h)$	$c_p(\$/GJ)$	$c_F(\$/GJ)$	دستگاه
0.155	10.62	57.77	25.85	0	کلکتور
0.677	2.248	1.069	47.26	28.82	توربین
0.186	0.317	1.389	30.01	25.85	اوپراتور
0.105	0.32	2.709	60.01	28.82	کندانسور
0.762	0.136	0.042	76.92	47.26	پمپ
0.87	0.306	0.045	9.60	1.29	زمین گرمایی

انتها قابل ذکر است که مقدار کلی فاکتور اگررژی- اقتصادی برای سیکل تولید همزمان 18.13 درصد می‌باشد. این مقدار نشان‌دهنده این است که 81.87 درصد هزینه سیستم، هزینه متناظر با تحریب اگررژی می‌باشد. در نتیجه به کار بردن اجزای با قیمت بالاتر که منجر به کاهش هزینه تحریب اگررژی و افزایش هزینه ابتدایی سیستم می‌شود، عملکرد سیستم را از منظر اگررژی- اقتصادی بهبود می‌بخشد [15,5].

6-3- تحلیل پارامتری

در این قسمت اثر تغییر دمای اوپراتور و اختلاف دمای پینچ در اوپراتور سیکل رانکین آلی بر روی عملکرد سیستم از منظر انرژی، اگررژی و اگررژی- اقتصادی بررسی می‌کنیم. دقت شود که بهمنظور تحلیل پارامتری، تنها پارامتر موردنظر در بازه در نظر گرفته شده تغییر کرده و بقیه موارد ورودی در سیکل، در حالت پایه مطابق جدول 1 ثابت می‌مانند.

"شکل 2" نشان‌دهنده تغییرات بازده انرژی و اگررژی بر حسب افزایش دمای اوپراتور در بازه 100 تا 140 درجه سلسیوس است. همان‌طور که دیده می‌شود، با افزایش دمای اوپراتور، بازده انرژی و اگررژی تولید همزمان کاهش و بازده انرژی و اگررژی الکتریکی افزایش می‌یابد. افزایش دمای اوپراتور باعث افزایش آنتالپی در توربین می‌شود که با ثابت ماندن کار توربین، باعث کاهش دبی سیال آلی در سیکل می‌گردد. در اوپراتور سیکل آلی نیز با ثابت ماندن اختلاف دمای پینچ، افزایش دمای اوپراتور باعث افزایش دمای سیال محرك خروجی می‌گردد که تاثیر متناقض افزایش آنتالپی سیال آلی و کاهش آنتالپی سیال محرك و دبی سیال آلی، نهایتاً افزایش دبی موردنیاز سیال در کلکتور خورشیدی را نتیجه می‌دهد. در کلکتور نیز در اثر افزایش دبی سیال و کاهش آنتالپی سیال، اثر کاهش آنتالپی سیال، کاهش مساحت موردنیاز کلکتور خورشیدی را باعث می‌گردد. بیشتر بوده که کاهش مساحت موردنیاز سیال آلی، عامل موثر در کندانسور و مبدل زمین گرمایی نیز کاهش دبی سیال آلی، در کاهش دبی آب گرم تولیدی و سیال زمین گرمایی می‌باشد. درنهایت در اثر کاهش همزن مان دبی سیال گرمایشی، دبی سیال زمین گرمایی و مساحت کلکتور در صورت و مخرج کسر بازده انرژی و اگررژی تولید همزمان، اثر کاهش سیال گرمایشی بیشتر بوده که باعث کاهش همزن بازده انرژی و اگررژی تولید همزمان می‌شود. اما در مورد بازده انرژی و اگررژی الکتریکی، کاهش همزن مساحت کلکتور و دبی سیال زمین گرمایی، افزایش بازده را نتیجه می‌دهد.

"شکل 3" تغییرات بازده انرژی و اگررژی بر حسب افزایش اختلاف دمای پینچ اوپراتور در بازه 2 تا 15 درجه سلسیوس است. همان‌طور که در شکل نیز قابل مشاهده است، افزایش دمای پینچ در محدوده موردنظر باعث کاهش انداز بازده انرژی و اگررژی می‌شود. در این حالت با ثابت ماندن کار خروجی و

شهر رامسر از نتایج خروجی نرم افزار Meteonorm و خوانده شده به وسیله نرم افزار TRNSYS استفاده می شود. برای بدست آوردن تابش خورشیدی کلی (مجموع تابش مستقیم و پراکنده) متوسط ماهیانه ورودی به دهانه کلکتور از روش توصیه شده در مراجع [17-19] استفاده می شود. در این روش یک روز از هر ماه (معمولًا روز 15 ام ماه با یک یا دو روز اختلاف [18]) بجز ماه June و December (به عنوان روز نماینده ماه در نظر گرفته می شود). برای روز انتخابی نیز شار متوسط روزانه در ساعت آفتابی با فرض کار کردن حلقه خورشیدی با شار بالای $\frac{W}{m^2}$ 200 محاسبه می شود. همچنین شبیه کلکتور نسبت به افق برای شهر رامسر (با عرض جغرافیایی 36 درجه) برابر با 15 درجه کمتر از عرض جغرافیایی برای فصل بهار و تابستان و 15 درجه بیشتر از عرض جغرافیایی برای فصل پاییز و زمستان در نظر گرفته می شود و دهانه کلکتور رو به جنوب می باشد [18]. مقادیر روز مورد بررسی در روز (تعداد ساعت شار بالای $\frac{W}{m^2}$) 200 و متوسط شار کلی روی سطح شبیه دار کلکتور ساعت شار بالای $\frac{W}{m^2}$ 200 می باشد. مقدار روز مورد بررسی در روز (تعداد ساعت شار بالای $\frac{W}{m^2}$) 200 می باشد. همچنین شبیه دار کلکتور در روز نماینده ماه در جدول 6 آورده شده است. اثر تغییر شار خورشیدی در ماه های مختلف بر عملکرد سیستم از منظر انرژی، اگررژی و اگررژی-اقتصادی در جدول 7 قابل مشاهده است.

همچنین اثر تغییر شار خورشیدی در طول ساعت شار بالای $\frac{W}{m^2}$ 200 در روز 17 ام ماه April بر روی بازده سیکل تولید همزمان در "شکل 6" و اثر تغییر شار بر روی پارامترهای اگررژی- اقتصادی در "شکل 7" قابل مشاهده است. همان طور که از جدول 6 پیداست، در طول این روز، تعداد ساعت شار بالای $\frac{W}{m^2}$ 200 حدوداً 10 ساعت (از ساعت 9 صبح تا ساعت 18 بعدازظهر) می باشد. با افزایش شار خورشیدی واردہ به کلکتور، مساحت مورد نیاز کلکتور به منظور تأمین مای دمای خروجی 150 درجه سلسیوس کاهش می پابد. در اثر افزایش شار و کاهش مساحت در مخرج کسر بازده تولید همزمان، اثر کاهش مساحت بیشتر بوده و افزایش بازده انرژی و اگررژی را نتیجه می دهد که در "شکل 6" قابل ملاحظه می باشد. همچنین کاهش مساحت کلکتور در اثر افزایش شار ورودی، عامل اصلی کاهش نرخ هزینه ابتدایی و نگهداری و نرخ هزینه مناسب با تخریب اگررژی با افزایش شار ورودی می باشد. تأثیر متقابل این دو مورد در رابطه فاکتور اگررژی- اقتصادی باعث افزایش این فاکتور با افزایش شار ورودی می شود که در "شکل 7" قابل ملاحظه است. همچنین می توان نتیجه گیری کرد که افزایش شار خورشید ورودی به کلکتور، عملکرد سیکل را از منظر اگررژی- اقتصادی بهبود می بخشند.

جدول 6 روز مورد بررسی در هر ماه، شبیه کلکتور نسبت به افق و متوسط شار کلی

Table 6 Studied day per month, Tilt angle the collector towards the horizon and average overall radition

ماه	روز در ماه	شبیه کلکتور نسبت به افق (درجه)	ساعت شار بالای 200(w/m^2)	متوسط شار روزانه (w/m^2)
Jan	16	51	9	522
Feb	16	51	9	634
Mar	16	51	9	594
Apr	16	21	10	650
May	15	21	11	622
Jun	10	21	9	524
Jul	14	21	11	632
Aug	16	21	11	627
Sept	14	21	9	622
Oct	15	51	9	639
Nov	15	51	5	491
Dec	10	51	7	5

مساحت و در نتیجه کاهش هزینه متناظر با آن را باعث می شود. این حالت در مورد کلکتور خورشیدی نیز برقرار بوده و کاهش مساحت موردنیاز کلکتور خورشیدی، باعث کاهش هزینه متناظر با آن می گردد.

"شکل 5" تغییرات مولفه های اقتصادی سیستم و بازگشت ناپذیری کلی بر حسب افزایش اختلاف دمای پینچ اوپراتور آبی نشان می دهد. در اثر افزایش دمای پینچ، بازگشت ناپذیری کلی افزایش دمای محرك خورشیدی خروجی آبی، افزایش دمای پینچ و به تبع آن افزایش دمای محرك و سیال عامل شده که افزایش بازگشت ناپذیری اوپراتور را نتیجه می دهد و در سایر اجزا بازگشت ناپذیری ثابت می ماند. در کلکتور خورشیدی، افزایش مساحت مورد نیاز، افزایش بازگشت ناپذیری کلی از در پی دارد. با افزایش دمای پینچ، نرخ هزینه ابتدایی و نگهداری تجهیزات تقریباً ثابت می ماند. در این حالت با افزایش دمای پینچ، مساحت کلکتور و هزینه آن افزایش دمای پینچ، باتفاق، اما به دلیل ثابت ماندن نرخ انتقال حرارت در اوپراتور و افزایش اختلاف دما در آن، مساحت موردنیاز اوپراتور کاهش پیدا کرده که باعث کاهش هزینه آن می شود. اثر متقابل دو عامل ذکر شده باعث می گردد که نرخ هزینه کلی تقریباً ثابت بماند.

7- اثر تغییر شار خورشیدی بر عملکرد سیکل ترکیبی

در این قسمت به منظور به دست آوردن شار خورشیدی ساعت به ساعت برای

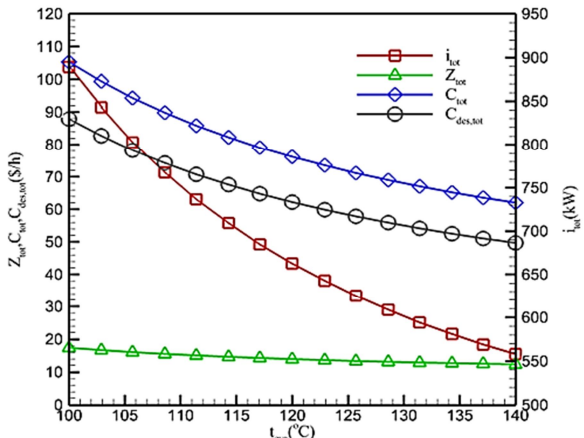


Fig. 4 Effect of evaporator temp on exergy destruction and economic parameter

شکل 4 اثر دمای اوپراتور بر روی تخریب اگررژی و پارامترهای اقتصادی

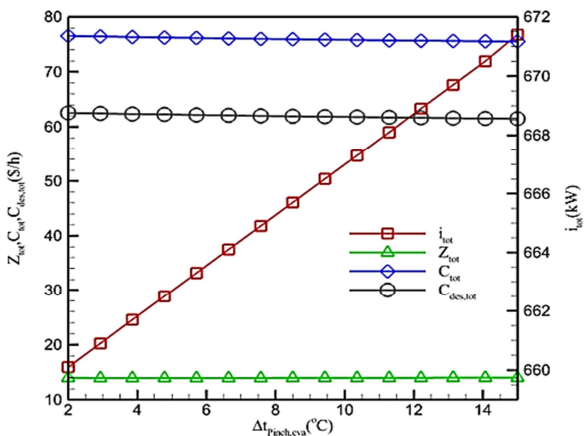


Fig. 5 Effect of evaporator pinch temp on exergy dest and economic parameter

شکل 5 اثر اختلاف دمای پینچ اوپراتور بر روی تخریب اگررژی و پارامترهای اقتصادی

گرم با محرك انرژی زمین گرمایی و انرژی خورشیدی شبیه‌سازی شده و سپس تاثیر تغییر پارامترهای مختلف بر روی عملکرد سیستم از منظر انرژی، اگررژی و اگررژی- اقتصادی بررسی می‌گردد. در حالت پایه، بازده انرژی و اگررژی تولید همزمان به ترتیب 0.566 و 0.156 و بازده انرژی و اگررژی الکتریکی به ترتیب 0.057 و 0.065 بوده، همچنین مقدار کار خروجی و بازگشت‌ناپذیری کلی نیز به ترتیب 50 و 671.1 کیلووات می‌باشدند. مقدار کلی فاکتور اگررژی- اقتصادی برای سیکل تولید همزمان 18.13 درصد می‌باشد و در نتیجه به کار بردن اجزای با قیمت بالاتر که منجر به کاهش هزینه تخریب اگررژی و افزایش هزینه ابتدایی سیستم شود، توصیه می‌گردد. نتایج تحلیل پارامتری حاکی از این است که افزایش دمای اوپراتور، باعث افزایش بازده انرژی و اگررژی الکتریکی شده و کاهش بازده انرژی و اگررژی تولید همزمان را سبب می‌گردد. همچنین باعث کاهش بازگشت‌ناپذیری کلی و کاهش نرخ هزینه تخریب اگررژی و هزینه کلی را نیز در بردارد. افزایش دمای پینچ بر روی بازده انرژی و اگررژی الکتریکی و تولید همزمان، موجب کاهش اندک آن شده، اما بازگشت‌ناپذیری کلی را افزایش می‌دهد. همچنین باعث کاهش اندک نرخ هزینه تخریب اگررژی و هزینه کلی می‌گردد. افزایش شار خورشیدی به نفع سیستم بوده و موجب افزایش راندمان انرژی و اگررژی می‌گردد. علاوه بر این افزایش شار خورشیدی موجب کاهش سطح کلکتور خورشیدی می‌گردد که این امر عمل تأثیرگذار بر نرخ هزینه ابتدایی و نگهداری و نرخ هزینه متناسب با تخریب اگررژی بوده و موجب کاهش آن‌ها می‌گردد. در کل می‌توان گفت افزایش شار ورودی، عملکرد سیکل را از منظر اگررژی- اقتصادی بهبود می‌بخشد.

۹- مراجع

- [1]. H.Ghasemi, E.Sheu, A.Tizzanini, M.Paci, A. Mitsos, Hybrid solar-geothermal power generation: Optimal retrofitting, *Applied Energy*, Vol. 131, pp. 158-170, 2014.
- [2]. R. DiPippo. *Geothermal power plants: principles, applications, case studies and environmental impact*. Butterworth-heinemam,2012.
- [3]. Á. Lentz, R. Almanza, Parabolic troughs to increase the geothermal wells flow enthalpy, *Solar energy*, Vol. 80, No. 10, pp. 1290-1295, 2006.
- [4]. D.Tempesti, D.Fiaschi, Thermo-economic assessment of a micro chp system fuelled by geothermal and solar energy, *Energy*, Vol.58, pp.45-51,20 2013
- [5]. F.Mohammadkhani, N.Shokati, S.Mahmoudi, M.Yari, M.[5] Exergoeconomic assessment and parametric study of a Gas Turbine-Modular Helium Reactor combined with two Organic Rankine Cycles, *Energy*, Vol. 65, pp. 533-543, 201
- [6]. R. S. El-Emam, I. Dincer, Exergy and exergo-economic analyses and optimization of geothermal organic Rankine cycle, *Applied Thermal Engineering*, Vol. 59, No. 1, pp. 435-444, 2013.
- [7]. F.A. Boyaghchi, P. heidarnejad, Thermodynamic assessment and multi objective optimization of a solar micro CCHP based on organic Rankine cycle for domestic application. *Energy conversion and Management*, Vol 97, pp.224-34, 2015.
- [8]. B.F. Tchanche, G. Papadakis, G. Lambrinos, A. Frangoudakis, Fluid selection for a low-temperature solar organic Rankine cycle, *Applied Thermal Engineering*, Vol.29, No.11, pp. 2468-76, 2009.
- [9]. J.Freeman, K Hellgardt, C.N.Markides, An assessment of solar-powered organic Rankine cycle systems for combined heating and power in UK domestic applications, *Applied Energy*, Vol. 138, pp.605-20, 2015.
- [10]. Kalogirou,SA, "Solar Energy Engineering Processes and Systems", Academic press
- [11].S. Kakac, H. Liu, A. Pramanjaroenkij, *Heat exchangers: selection, rating, and thermal design*: CRC press, 2012.
- [12]. F. Calise, C. Capuozzo, A.Carotenuto, L. Vanoli, Thermoeconomic analysis and off-design performance of an organic Rankine cycle powered by medium-temperature heat

جدول 7 اثر تغییر شار خورشیدی در ماههای مختلف بر روی عملکرد سیستم از منظر انرژی، اگررژی و اگررژی- اقتصادی

Table 7 Effect of solar radiation change In different months on exergy and economic parameter

f _{tot}	C _{des,tot} (\$/h)	Z _{tot} (\$/h)	ex,chpη	en,chpη	A _{coll} (m ²)	شار	ماه	متوسط
0.141	164.2	27.1	0.136	0.49	1730	522	Jan	
0.154	119.3	21.76	0.144	0.518	1341	634	Feb	
0.150	132.3	23.37	0.141	0.509	1459	594	Mar	
0.155	114.8	21.18	0.145	0.522	1300	650	Apr	
0.153	123	22.21	0.143	0.516	1375	622	May	
0.142	163.1	26.98	0.136	0.491	1722	524	Jun	
0.154	119.6	21.8	0.144	0.518	1344	633	Jul	
0153	121.4	22.02	0.143	0.517	1361	627	Aug	
0.153	123	22.21	0.143	0.516	1375	622	Sept	
0.154	117.9	21.58	0.144	0.519	1328	639	Oct	
0.137	182.8	29.17	0.133	0.48	1881	491	Nov	
0.140	169.8	27.73	0.135	0.487	1776	512	Dec	

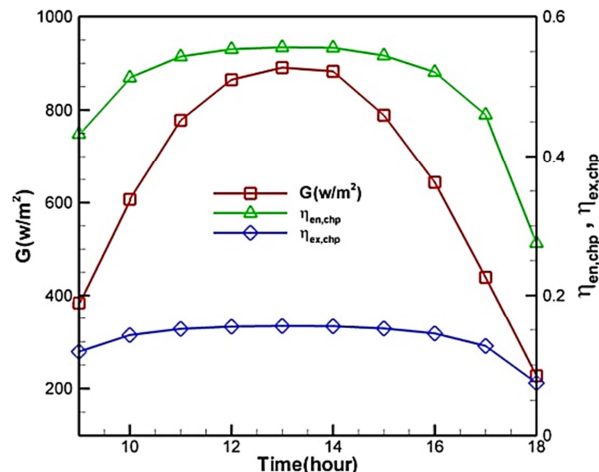


Fig. 6 Effect of solar radiation change on 17th April on chp cycle efficiency

شکل 6 اثر تغییر شار خورشیدی در روز 17 ام ماه April بر روی بازده سیکل تولید همزمان

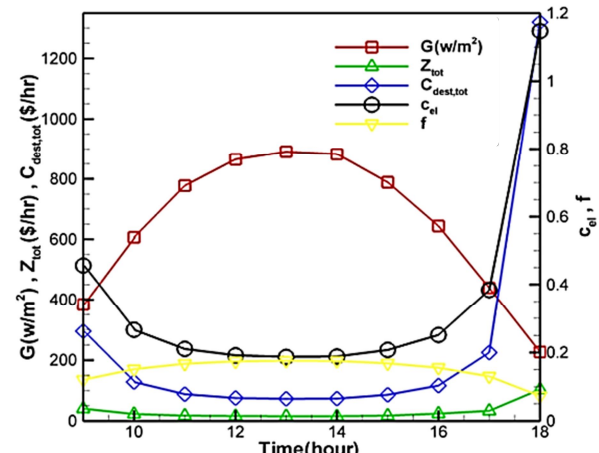


Fig. 7 Effect of solar radiation change on 17th April on exergy and economic parameter

شکل 7 اثر تغییر شار خورشیدی در روز 17 ام ماه April بر روی پارامترهای اگررژی- اقتصادی

8- نتیجه‌گیری

در این تحقیق، ابتدا سیکل رانکین آلی به منظور تولید همزمان قدرت و آب

- methodology for calculating efficiencies and costs in thermal systems, *Energy*, Vol. 31, No. 8, pp. 1257-1289, 2006.
- [17] Klein, S., "Calculation of monthly average insolation on tilted surfaces". *Solar energy*, Issue 4, Vol. 19, pp. 325-329. 1977
- [18]. Sabziparvar, AA., "A simple formula for estimating global solar radiation in central arid deserts of Iran", *Renewable Energy*, Issue 5, Vol. 33, pp. 1002-1010. 2008.
- [19]. Mokheimer, EM. Dabwan, YN. Habib, MA. Said, SA. Al-Sulaiman, FA., "Development and assessment of integrating parabolic trough collectors with steam generation side of gas turbine cogeneration systems in Saudi Arabia", *Applied Energy*, Vol. 141, pp. 131-142.2015.
- sources, *Solar Energy*, Vol.103,pp.595,2014
- [13]. A. Kheiri, M. Feidt, S. Pelloux-Prayer, Thermodynamic and economic optimizations of a waste heat to power plant driven by a subcritical ORC (Organic Rankine Cycle) using pure or zeotropic working fluid, *Energy*, Vol. 78, pp. 622-638, 2014.
- [14]. A. Bejan, G. Tsatsaronis, *Thermal design and optimization*: John Wiley & Sons, 1996.
- [15]. M. Khaljani, R. K. Saray, K. Bahlouli, Comprehensive analysis of energy, exergy and exergo-economic of cogeneration of heat and power in a combined gas turbine and organic Rankine cycle, *Energy Conversion and Management*, Vol. 97, pp. 154-165, 2015.
- [16]. A. Lazzaretto, G. Tsatsaronis, SPECO: a systematic and general